

## بررسی تأثیر فاکتورهای رشد Transforming Growth Factor- $\beta$ 3 و Bone Morphogenetic Protein-6 بر روند تمایز کندروروژنیک سلول‌های بنیادی مشتق از چربی بر داربست آلرینات

دکتر بتول هاشمی بنی<sup>۱</sup>، دکتر شهناز رضوی<sup>۲</sup>، دکتر ابراهیم اسفندیاری<sup>۳</sup>، دکتر سعید کرباسی<sup>۴</sup>، دکتر محمد مردانی<sup>۵</sup>، فرزانه صادقی<sup>۶</sup>، دکتر محمدحسین نصر اصفهانی<sup>۷</sup>، دکتر فاطمه نادعلی<sup>۸</sup>، دکتر حمید شفیع زاده<sup>۹</sup>

### خلاصه

**مقدمه:** آسیب‌های مفاصل و از جمله استتوآرتریت، در همه‌ی جوامع شیوع فراوانی دارند. به علاوه، غضروف مفصلی توانایی بسیار محدودی در ترمیم آسیب‌ها دارد. روش‌های درمان مختلف مورد استفاده جهت ترمیم آسیب‌های غضروفی منجر به تشکیل بافت فیبروز، آپوپتوز و تخرب بیشتر غضروف می‌شوند. از این رو، طراحی بافت غضروفی از سلول‌های بنیادی ضروری به نظر می‌رسد. بر این اساس، هدف از تحقیق حاضر بررسی تأثیر فاکتورهای رشد-6 BMP و TGF- $\beta$ 3 بر روند تمایز کندروروژنیک سلول‌های بنیادی مشتق از چربی بر داربست آلرینات بود.

**روش‌ها:** بافت چربی زیر جلدی انسانی تحت تأثیر آنزیم کلاژنаз تجزیه شد و سلول‌های بنیادی جهت القای کندروروژن بر داربست آلرینات در محیط کشت کندروروژنیک تحت تأثیر فاکتورهای رشد BMP-6 و TGF- $\beta$ 3 به مدت سه هفته کشت داده شد. نمونه‌های حاصل از تمایز با روش‌های هیستولوژیکی، ایمینوهویستوشیمی و RT-PCR از نظر ویژگی‌های غضروف مورد بررسی قرار گرفت.

**یافته‌ها:** فاکتورهای رشد BMP-6 و TGF- $\beta$ 3 موجب القای کندروروژن در سلول‌های بنیادی مشتق از چربی بر داربست آلرینات شد. مطالعات ایمینوهویستوشیمی وجود آگریکان و کلاژن نوع II را در ماتریکس خارج سلولی نشان داد. بررسی با روش RT-PCR نیز وجود فوتیپ کندروسیتی را تحت تأثیر القای کندروروژنیک توسط فاکتورهای رشد BMP-6 و TGF- $\beta$ 3 تأیید کرد. همچنین وجود توأم فاکتورهای رشد BMP-6 و TGF- $\beta$ 3 موجود افزایش بیان آگریکان در مقایسه با به کار گیری هر یک از این فاکتورها به تنها بیان گردید.

**نتیجه‌گیری:** از این تحقیق می‌توان نتیجه گرفت که فاکتورهای رشد BMP-6 و TGF- $\beta$ 3 در داربست آلرینات، هر یک به تنها بیان عنوان القا کننده غضروف سازی عمل می‌کنند و به کار گیری هر دو فاکتور با هم بیان آگریکان را افزایش می‌دهند.

**وازگان کلیدی:** سلول‌های بنیادی مشتق از چربی، آلرینات، مهندسی بافت غضروف، BMP-6، TGF- $\beta$ 3.

بر روی یکدیگر می‌باشد. به دلیل فقدان عروق خونی و تراکم سلولی پایین، غضروف توانایی محدودی در ترمیم آسیب‌ها دارد (۱-۲).

**مقدمه**  
غضروف نوعی بافت همبند اختصاصی است که وظیفه‌ی اصلی آن ایجاد نرمی و راحتی لغزش مفاصل

<sup>۱</sup> استادیار، گروه علوم تشریحی، دانشگاه علوم پزشکی اصفهان، اصفهان، ایران.

<sup>۲</sup> دانشیار، گروه علوم تشریحی، دانشکده‌ی پزشکی، دانشگاه علوم پزشکی اصفهان، اصفهان، ایران.

<sup>۳</sup> استاد، گروه علوم تشریحی، دانشکده‌ی پزشکی، دانشگاه علوم پزشکی اصفهان، اصفهان، ایران.

<sup>۴</sup> استادیار، گروه فیزیک و مهندسی پزشکی، دانشگاه علوم پزشکی اصفهان، اصفهان، ایران.

<sup>۵</sup> کارشناس ارشد، گروه علوم تشریحی، دانشکده‌ی پزشکی، دانشگاه علوم پزشکی اصفهان، اصفهان، ایران.

<sup>۶</sup> دانشیار، مرکز تحقیقاتی علوم سلولی، پژوهشکده‌ی رویان اصفهان، اصفهان، ایران.

<sup>۷</sup> استادیار، گروه پاتولوژی و هماتولوژی، دانشکده‌ی پزشکی، دانشگاه علوم پزشکی اصفهان، اصفهان، ایران.

<sup>۸</sup> پژوهش عمومی، گروه علوم تشریحی، دانشکده‌ی پزشکی، دانشگاه علوم پزشکی اصفهان، اصفهان، ایران.

<sup>۹</sup> نویسنده‌ی مسؤول: دکتر شهناز رضوی، دانشیار، گروه علوم تشریحی، دانشکده‌ی پزشکی، دانشگاه علوم پزشکی اصفهان، اصفهان، ایران.

کافی به راحتی ممکن نیست (۱۲-۱۱). بنابراین به دلایل گوناگون، از جمله آسیب رسیدن به بافت غضروفی سالم در هنگام برداشت نمونه، محدودیت تکثیر کندروروسیت‌های بالغ، تعداد اندک سلول‌های جداسازی شده و پدیده‌ی برگشت پذیری، دستیابی به منابع سلولی دیگر در جهت طراحی بافت غضروفی و درمان بیماری‌های این بافت ضروری است. لازم به ذکر است که پیوند اندام و بافت جهت درمان آسیب‌ها و بیماری‌ها راه حل ارزشمندی به نظر نمی‌رسد. همچنین ضرورت مصرف داروی سرکوبگر ایمنی به مقدار زیاد و به صورت مدام‌العمر توسط افراد گیرنده‌ی پیوند از عوامل محدود کننده در به کار گیری این روش محسوب می‌شود (۱۴-۱۳). به علاوه، استفاده از وسایل مکانیکی یا اعضای مصنوعی نیز به دلیل خطر ایجاد عفونت، انسداد جریان خون و دوام پایین، دارای محدودیت است؛ از این رو، مهندسی بافت، به عنوان روشی برای جایگزین کردن بافت آسیب دیده بافت سالم مورد توجه قرار گرفته است. داریست مناسب، سلول زنده‌ی ترمیم کننده، عوامل فیزیکوشیمیایی و فاکتورهای رشد، عوامل مورد نیاز جهت طراحی بافت محسوب می‌شوند (۱۶-۱۵).

بیومتریال‌ها در طراحی بافت اهمیت ویژه‌ای دارند و اکثر مطالعات نشان داده است که داریست‌های این ترکیبات برای پیشرفت روند ترمیم و نوسازی بافت‌ها در بدن موجود زنده و شرایط آزمایشگاهی ضروری و اساسی می‌باشد. با ترکیب مواد زیستی و سلول‌ها می‌توان زمینه‌ی تعامل سه بعدی سلول-سلول را فراهم نمود و بافت مناسب تهیه کرد. در حقیقت، مواد مورد نظر یک فضای سه بعدی جهت تکثیر سلول‌ها، تولید و ترشح ماتریکس خارج سلولی و شکل‌گیری بافت

طبق گزارش‌های اخیر، ۲۱ میلیون نفر از مردم آمریکا با بیماری استئوارتریت زندگی می‌کنند (۳). به علاوه، بررسی‌ها پیش‌بینی می‌کند که تا سال ۲۰۲۰ بیش از ۶۰ میلیون نفر به این بیماری مبتلا خواهد بود (۴). در کشورهای پیشرفته استئوارتریت زانو، مهم‌ترین علت ناتوانی مزمن در سالم‌دان به شمار می‌رود (۵). اطلاعات بیوشیمیایی به دست آمده حاکی از وجود نقص در شبکه‌ی کلازنی ماتریکس، شاید در اثر از هم گسیختگی اتصالات بین رشته‌های مجاور، می‌باشد. این دگرگونی از اولین تغییرات مشاهده شده در ماتریکس بوده، برگشت ناپذیر به نظر می‌رسد (۶).

روش‌های درمان مختلف، از جمله پیوند بافت غضروف به صورت آلوگرافت و اتوگرافت، ممکن است به تشکیل بافت فیروز، آپوپتوز و تخریب بافت منجر شوند (۷-۶).

طی سال‌های اخیر، جهت درمان آسیب‌های مفاصل روش پیوند کندروروسیت‌های اтолوگ به کار گرفته شده است. در این روش، قطعه‌ای از بافت غضروفی از ناحیه‌ی دنده یا محل‌هایی در مفاصل، که وزن بالایی بر آن‌ها وارد نمی‌شود، جدا می‌گردد و با تجزیه‌ی آنزیمی، کندروروسیت‌ها جدا شده، تکثیر می‌یابند. در مرحله‌ی بعد، کندروروسیت‌ها به ناحیه‌ی آسیب دیده پیوند داده می‌شوند. برای نخستین مرتبه، جداسازی و کشت کندروروسیت از بافت غضروفی در دهه‌ی ۶۰ گزارش شد (۸) و از آن زمان، پیشرفت‌های قابل ملاحظه‌ای در فن‌آوری کشت کندروروسیت، روش‌های ارزیابی میزان تکثیر آن‌ها و سنجش فعالیت‌های بیوستزی این سلول‌ها به دست آمده است (۹-۱۰).

لازم به ذکر است که روش پیوند کندروروسیت‌های اтолوگ محدودیت‌هایی دارد و دستیابی به تعداد سلول

ژل تأثیر می‌گذارد. از ویژگی‌های جالب محلول آژینات مایع این است که در حضور کاتیون‌هایی مانند یون‌های کلسیم، منیزیم و باریم به حالت ژل در می‌آید و اتصالات بین واحدهای G رشته‌های آژینات مجاور، پل‌های یونی بین زنجیره‌ای پدید می‌آورد (۲۴-۲۵). بررسی‌ها نشان داده است که ژل آژینات شرایطی فراهم می‌سازد که کندروسیت‌ها، فتوتیپ تمایز یافته‌ی خود را حفظ نموده، ماکرو مولکول‌های مخصوص غضروف را تولید می‌نمایند (۲۶).

Stevens و همکاران نشان دادند که سیستم ژل آژینات، روند کندروژن سلول‌های مشتق از پریوستیوم را حمایت می‌کند (۲۷). به علاوه، القای کندروژنیک بر روی داربست آژینات در سلول‌های بنیادی مشتق از مغز استخوان و بافت چربی نیز گزارش شده است. در روند تمایز سلول‌های بنیادی مزانشیمی به کندروسیت، وجود آژینات موجب حفظ شکل کروی سلول‌ها و پیشرفت تمایز آن‌ها می‌شود (۲۸-۲۹).

تحقیقات نشان داده است که از بین رفتن عوامل رشد پروتئینی در تخریب غضروف مؤثر است. بنابراین رشد، تقسیم سلولی، تشکیل ماتریکس خارج سلولی و روند کندروژن تحت تأثیر عوامل رشد مختلف قرار می‌گیرد. پروتئین‌های خانواده‌ی فاکتور رشد تغییر شکل دهنده‌ی بتا (TGF- $\beta$ ) به عنوان تنظیم کننده‌ی کندروژن عمل می‌کند. TGF- $\beta$  توسط کندروسیت‌های مفصلی تولید شده، در زمینه‌ی غضروف باقی می‌ماند و در حفظ کندروسیت‌های مفصلی و تکثیر استئوبلاست نقش مؤثری دارد (۳۰).

مطالعات نشان داده است که این پروتئین‌ها نقش اصلی و تعیین‌کننده در تکامل سیستم عضلانی- اسکلتی بر عهده دارند و در رشد و تکثیر سلول‌های غضروفی

طبیعی را فراهم می‌سازند (۱۵-۱۸).

داربست باید زیست تخریب پذیر و قابل جذب شدن تدریجی پس از پیوند در بدن باشد؛ از این رو لازم است سرعت جذب داربست با سرعت تشکیل ماتریکس خارج سلولی هماهنگی داشته باشد (۲۰، ۱۸-۲۱). داربست و محصولات تخریب آن باید موجب واکنش التهابی شوند و در حقیقت باید زیست سازگار باشند (۲۱، ۱۸-۲۰). ساختار داربست باید به گونه‌ای طراحی شود که انتقال مولکول‌های تنظیم کننده، مواد مغذی و متابولیت‌ها را تسهیل نماید و دارای منافذ مناسب با تخلخل کترل شده باشد (۲۱). لازم است ویژگی‌های سطح داربست برای چسبندگی، تکثیر، مهاجرت و رشد سلولی مناسب باشد و شرایط مناسب جهت تشکیل و جایگزین شدن ماتریکس توسط سلول‌ها را فراهم کند (۲۲) و قابلیت استریل کردن و تثیت شدن در موضع پیوند را داشته باشد (۲۲).

پلیمرهای طبیعی، که ساختار پلی‌پیتیدی یا پلی‌ساقاریدی دارند، از مشتقات موجود زنده هستند که در مهندسی بافت به عنوان داربست به کار می‌روند (۱۹). آژینات یک بیوپلیمر طبیعی است که به طور عمده از جلبک قهوه‌ای و به میزان کمتر از باکتری‌ها استخراج می‌شود. این ماده ۴۰ درصد وزن خشک جلبک‌ها را تشکیل می‌دهد. در واقع آژینات در ماتریکس خارج سلولی این جلبک‌ها به صورت ترکیب با کاتیون‌های کلسیم، منیزیم و سدیم وجود دارد. آژینات پلی‌مر دو گانه از گلورونیک اسید و مانورونیک اسید است که به صورت زنجیره‌هایی با الگوی خلاف حرکت عقربه‌های ساعت مرتب شده است (۲۳).

در هنگام تهیه‌ی ژل آژینات، وجود اسمولیت‌های باردار، مانند سدیم کلرید، بر هموژن بودن و یکنواختی

افزایش تولید گلوكوكورتيکوئيدها استخوان سازی درون غضروفی را پیش می‌برد و نقش اساسی در تشکیل استخوان دارد (۳۷)؛ همچنین گزارش دیگر نشان داد که BMP-6 به تنهایی قادر به القای کندرورژن به طور کامل نیست (۳۸).

مطالعات انجام شده، نتایج مختلف و حتی متناقضی در سیستم کشت سه بعدی در زمینه کندرورژن سلول‌های بنیادی مشتق از غضروف سازی درون غضروفی را افزودن پروتئین ۶ BMP به محیط القا کننده، در روند تمایز سلول‌های مزانشیمی بنیادی مشتق از غضروف سازی درون غضروفی را افزایش می‌دهد (۳۹). مطالعات در زمینه چگونگی کندرورژن در دوران جنینی نشان داده است که سلول‌های مزانشیمی در مراحل ابتدایی به صورت توده‌ای متراکم تجمع می‌یابند و تعامل بین سلولی همراه با دیگر فاکتورهای مؤثر سرانجام به تشکیل غضروف منجر می‌گردد (۷). ضمن این که تحقیقات در جهت حفظ فنوتیپ کندروسیت‌ها در کشت تک لایه‌ای، ضرورت کشت سه بعدی در روند کندرورژن را مشخص می‌کند (۱۱). از این رو، مطالعات گسترده‌ای در زمینه ایجاد بافت غضروفی از سلول‌های بنیادی با روش‌های گوناگون در شرایط آزمایشگاهی با کمک گرفتن از سیستم کشت سه بعدی انجام شده است.

### روش‌ها

جداسازی و کشت سلول‌های بنیادی از بافت چربی: بافت چربی زیر جلدی انسانی از اتاق عمل از پنج نفر با سن ۲۵-۵۰ سال پس از کسب رضایت کتبی از بیماران به دست آمد. پس از توزین، بافت تحت شرایط استریل به قطعات چند میلی‌متری برشید. جهت تجزیه‌ی بافت، آنزیم کلاژنаз نوع IA (Sigma) به میزان ۱/۵ میلی‌گرم به ازای هر گرم بافت چربی به کار گرفته شد. پس از تجزیه شدن کامل بافت، هم حجم محلول آنزیم، محیط کشت DMEM (Gibco) حاوی ۱۰ FBS درصد (Sigma) و ۱ Penicillin/streptomycin (Gibco) درصد (Gibco) جهت خشی کردن فعالیت آنزیم به

مؤثر هستند (۳۱). به علاوه، در سیستم کشت سه بعدی در هیدروژل آژرینات BMP-2 و BMP-9 می‌توانند در روند غضروف سازی مؤثر باشند (۳۲).

همچنین مشخص شده است که افزودن پروتئین ۶ BMP به محیط القا کننده، در روند تمایز سلول‌های مزانشیمی بنیادی مشتق از غضروف سازی درون غضروفی را افزایش می‌دهد (۳۹). مطالعات در زمینه چگونگی کندرورژن در دوران جنینی نشان داده است که سلول‌های مزانشیمی در مراحل ابتدایی به صورت توده‌ای متراکم تجمع می‌یابند و تعامل بین سلولی همراه با دیگر فاکتورهای مؤثر سرانجام به تشکیل غضروف منجر می‌گردد (۷). ضمن این که تحقیقات در جهت حفظ فنوتیپ کندروسیت‌ها در کشت تک لایه‌ای، ضرورت کشت سه بعدی در روند کندرورژن را مشخص می‌کند (۱۱). از این رو، مطالعات گسترده‌ای در زمینه ایجاد بافت غضروفی از سلول‌های بنیادی با روش‌های گوناگون در شرایط آزمایشگاهی با کمک گرفتن از سیستم کشت سه بعدی انجام شده است.

لازم به ذکر است که علاوه بر شرایط سه بعدی، دستیابی به فاکتورهای رشد و محیط کشت مناسب نیاز به بررسی گسترده دارد و با وجود مطالعات وسیع در زمینه کندرورژن، نقش فاکتورهای رشد و انواع داربست‌ها به خوبی روشن نشده است.

با وجود تعدادی از گزارش‌ها مبنی بر تأثیر القا کننده‌گی برخی از اعضای خانواده‌ی TGF- $\beta$  در روند کندرورژن (۲۸، ۳۳-۳۴) گروهی از محققین این عوامل را جهت القای غضروف سازی و به دست آوردن کندروسیت بالغ کافی نمی‌دانند (۳۵-۳۶).

برخی مطالعات نشان داده است که ۶ BMP با

سلول در محلول کلرید کلسیم به حالت ژل در آمد و قطرات (Beads) ژل مانند دارای سلول شکل گرفت. پس از تخلیه کلرید کلسیم، به بیدهای آژینات محلول کلرید سدیم ۰/۹ درصد به مدت ۱۰ دقیقه ۰/۹ اضافه شد. سپس شستشوی مجدد با کلرید سدیم ۰/۹ درصد و محیط کشت DMEM-high glucose انجام گرفت. در پایان به قطرات آژینات حاوی سلول مدیوم، کندرروژنیک حاوی Penicillin/streptomycin ۱ درصد ۱ Transferrin–selenious-insulin، (Gibco)، (Sigma)، (Sigma)  $10^{-7}$  Dexamethason، (Sigma)، (Sigma) ۱ Bovine serum albumin، (Sigma) ۵۰  $\mu\text{g/ml}$  Ascorbate-2 phosphate Transforming، (Sigma) ۵  $\mu\text{g/ml}$  Linoleic acid Bone و (Sigma) ۱۰ ng/ml growth factor- $\beta$  ۳ (Sigma) ۵۰۰ ng/ml Morphogenetic Protein-6 اضافه گردید. به طور متوسط در هر قطره حدود ۱۰۰۰ سلول قرار داشت. قطرات در دیش‌های کشت ۳ سانتی‌متر درون انکوباتور با دمای ۳۷ درجه سانتی‌گراد و  $5\%$   $\text{CO}_2$  نگهداری شد. هر ۲-۳ روز محیط کشت تعویض می‌شد. پس از ۲۱ روز القای کندرروژنیک، بیدها با روش‌های گوناگون بررسی گردید. لازم به ذکر است که به سلول‌های گروه شاهد محیط کشت فاقد فاکتور رشد، به گروه آزمایشی اول فاکتور رشد TGF- $\beta$  ۳، گروه آزمایشی دوم BMP-6 و گروه سوم هر دو فاکتور رشد اضافه گردید.

#### ارزیابی ساختارهای حاصل پس از القای کندرروژنیک:

روش بافت شناسی: جهت بررسی ساختارهای حاصل از القای کندرروژنیک مطالعه‌ی هیستولوژیکی با روش معمولی هماتوکسیلین-ائوزین انجام شد. نمونه‌ها در

سوسپانسیون سلولی اضافه گردید. در ادامه، سوسپانسیون به مدت ۱۰ دقیقه با دور ۱۴۰۰ rpm سانتریفوژ شد و مایع رویی همراه با سلول‌های آدیپوسیت تخلیه گردید. به رسوب سلولی حاصل، محیط کشت DMEM و ۱۰ FBS درصد افزوده شد و جهت تجزیه گلbulوهای قرمز موجود در رسوب سلولی، محلول بافر لیز کننده‌ی دارای کلرید آمونیم EDTA (Merck)، بی‌کربنات پتاسیم (Merck) استفاده گردید. پس از ۱۰ دقیقه، هم حجم بافر لیز کننده، محیط کشت DMEM و ۱۰ FBS درصد اضافه شده، به مدت ۱۰ دقیقه سانتریفوژ با دور ۱۴۰۰ rpm انجام شد. در مرحله‌ی پایانی، سلول‌ها در فلاسک ۲۵ سانتی‌متر مربع در محیط کشت DMEM حاوی (Gibco) ۱۰ FBS درصد ۱ Penicillin/streptomycin در انکوباتور ۳۷ درجه‌ی سانتی‌گراد،  $5\%$   $\text{CO}_2$  درصد و رطوبت نسبی کشت داده شد. با تعویض محیط کشت بعد از ۲۴ ساعت سلول‌های اضافی تخلیه گردید.

تمایز کندرروژنیک بر روی داربست آژینات: جهت کشت بر روی داربست آژینات و القای تمایز کندرروژنیک، سلول‌های بنیادی در پاساژ چهارم پس از تریپسینه شدن از فلاسک جدا شده، با PBS شستشو شد و به مدت ۱۰ دقیقه با دور ۱۴۰۰ rpm سانتریفوژ گردید. پس از شمارش سلولی، حدود  $2 \times 10^5$  سلول بر میلی‌لیتر بار دیگر سانتریفوژ شده، حدود  $0/4$  میلی‌لیتر محلول آژینات به رسوب سلولی افزوده شد. پس از مخلوط کردن سلول-آژینات با سرنگ انسولین و سوزن Gage ۲۲، محلول آژینات-سلول به صورت قطره قطره به محلول کلرید کلسیم ۱۰۵ میلی‌مولار اضافه گردید. طی مدت ۱۵ دقیقه قطرات آژینات-

تکنیک نسخه برداری معکوس- واکنش زنجیره‌ای پلی‌مراز RT-PCR از روش RT-PCR برای ارزیابی بیان ژن‌های مربوط به مولکول‌های ماتریکس ویژه‌ی غضروف استفاده شد.

جهت استخراج RNA از سلول‌های تمایز یافته از RNA isolation RNX plus کیت جداسازی RNA (CinnaGen) استفاده شد. ساخت cDNA با استفاده RevertAid™ First Strand cDNA synthesis kit (Fermentage) از پرایمرهای الیگو و کیت شد؛ بدین ترتیب که ۱۰ میکرولیتر RNA استخراج Ribonuclease شده، ۱ میکرولیتر Oligo (dT)، Reverse Transcriptase و آنزیم dNTP inhibitor (RT) به کار رفت. برای تکثیر cDNA ساخته شده مراحل افزودن ترکیبات به این ترتیب انجام گرفت؛ ۱۰x buffer به میزان ۱۰ µl، ۱۰ mM dNTP، ۰/۵ µl R Primer به میزان ۱ µl، ۰/۵ µl به مقدار ۱ µl، نمونه‌ی DNA تهیه شده به میزان ۱ µl، ۰/۵ µl Taq polymerase enzyme و H<sub>2</sub>O ۰/۵ µl. سپس تکثیر تحت شرایط یک سیکل مقدماتی به مدت ۵ دقیقه در ۹۵ درجه‌ی سانتی‌گراد برای دناتوره کردن ۳۰ سیکل هر سیکل شامل ۳۰ ثانیه با دمای ۹۵ درجه‌ی سانتی‌گراد، ۴۵ ثانیه با دمای ۷۲ درجه‌ی سانتی‌گراد و در پایان یک سیکل به مدت ۵ دقیقه با دمای ۷۲ درجه‌ی سانتی‌گراد انجام شد. توالی پرایمرهای به کار رفته در جدول ۱ آمده است.

الکتروفورز در ژل ۱ درصد باشدت جریان ۹۰ میلی آمپر و ولتاژ ۴۵ میلی ولت به انجام رسید. باندهای حاصل با نرم‌افزار J Image بررسی و از طریق آزمون آماری Analysis variance of one way مورد ارزیابی قرار گرفت.

فرمالدئید ۱۰ درصد به مدت ۲۴ ساعت فیکس گردید. سپس مراحل آماده سازی بافت با آب گیری در الکل‌های صعودی، شفاف کردن در گزیل و سپس آغشتگی در پارافین انجام گرفت. به دنبال قالب گیری هر نمونه در پارافین مذاب، مقاطع با ضخامت ۵ میکرومتر با استفاده از میکروتوم تهیه شد. سپس رنگ آمیزی در هماتوکسیلین و ائوزین انجام شد و بررسی مقاطع رنگ شده با میکروسکوپ نوری نیکون انجام گرفت.

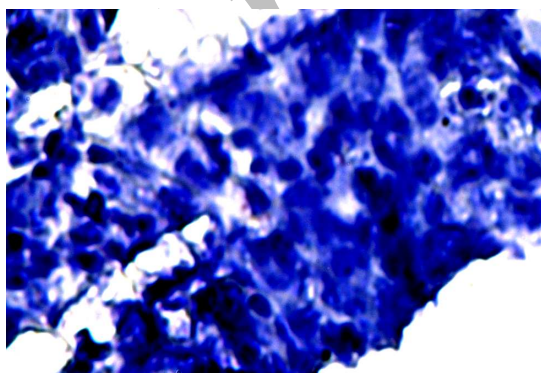
روش ایمینو‌هیستوشیمی: پس از تهیه‌ی مقاطع، شفاف کردن و آب دهی، تثبیت بافت در استن انجام شد. جهت ختنی شدن فعالیت پراکسیداز هیدروژن درون بافت، نمونه‌ها در پراکسید هیدروژن ۳ درصد (Merck) در اتانول ۷۰ درصد به مدت ۳۰ دقیقه قرار داده شد. پس از شستشو با بافر فسفات جهت هویدا شدن آنتی‌ژن‌ها (Epitope retrieval) از آنزیم پیپسین (Sigma) به میزان ۱ میلی‌گرم در ۱ میلی‌لیتر اسید استیک ۰/۵ مولار به مدت ۴۰ دقیقه در دمای ۳۷ درجه‌ی سانتی‌گراد استفاده گردید. در مرحله‌ی بعد، آنتی‌بادی‌های اولیه علیه مولکول‌های کلاژن نوع II (Abcami) و آگریکان (Serotec) انسانی به مقاطع اضافه شد و به مدت ۲۴ ساعت در دمای ۴ درجه‌ی سانتی‌گراد نگهداری گردید. در مرحله‌ی بعد آنتی‌بادی Horse Radish Peroxidase (DAKO cytation) به نمونه‌ها افزوده گردید و به مدت ۶۰ دقیقه در دمای محیط نگهداری شد. پس از شستشو با بافر PBS، کروموزن دی‌آمینو بنزیدین (DAKO cytation) به نمونه‌ها افزوده شد. جهت رنگ آمیزی زمینه از هماتوکسین (Merck) استفاده گردید. پس از شستشوی نمونه‌ها با بافر، مطالعه با میکروسکوپ نیکون انجام گرفت.

جدول ۱. توالی پرایمرهای به کار رفته در این مطالعه

نام ژن	توالی پرایمرها	اندازهٔ محصول
Aggrecan	F- AGGAGGGCTGGAACAAGTACC R- GGAGGTGGTAATTCCAGGGAAACA	۳۵۰ bp
Collagen II	F- CAGGTCAAGATGGTC R- TTCAGCACCTGTCTCACCA	۳۷۰ bp
GAPDH	F- GGGCTGCTTTAACTCTGGT R- GCAGGTTTTCTAGACGG	۶۸۰ bp

۲۱ روز القای کندروژنیک تحت تأثیر فاکتورهای رشد BMP-6 و TGF- $\beta$  به صورت قطرات کروی شکل مشخص گردید.

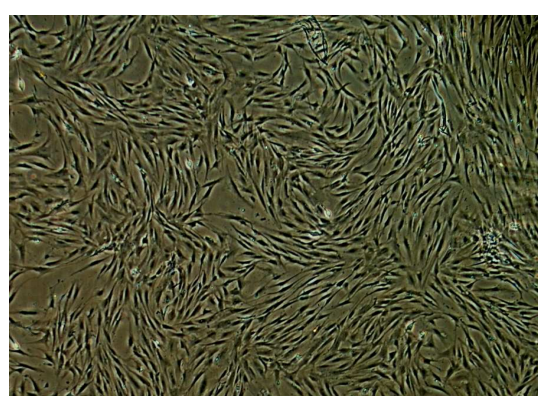
**بافت شناسی:** طی بررسی هیستولوژیک مقاطع رنگ آمیزی شده، سلول‌های کروی با هسته‌ی بازوپیل و سیتوپلاسم نامشخص درون داربست آژینات شناسایی شد. ماتریکس بازوپیل و به میزان کم در اطراف سلول‌ها به چشم می‌خورد (شکل ۲). از آن جا که وجود داربست آژینات از به هم پیوستن ماتریکس ساخته شده توسط سلول‌های در حال تمایز و پدید آمدن یک بافت هموژن جلوگیری می‌کند، طی بررسی مقاطع هیستولوژیک، ساختار شبه غضروف دارای لاکونا مشاهده نشد.



شکل ۲. فوتومیکروگراف مقطع تهیه شده از قطره آژینات که سلول‌های بنیادی در حال تمایز با مورفوژی کروی در آن مشخص است. رنگ آمیزی با هماتوکسیلین - انوزین  $\times 400$

### یافته‌ها

مورفوژی سلول‌های بنیادی جدا شده از بافت چربی در بررسی سلول‌های زنده و رنگ آمیزی نشده با استفاده از میکروسکپ فاز کتراست، سلول‌ها به صورت سلول‌های کوچک دارای سیتوپلاسم اندک، هسته‌ی مرکزی و بیضی شکل مشخص شدند. همچنین سلول‌ها در مرحله‌ی کشت اولیه دارای تعداد کمی زوائد سیتوپلاسمی کوتاه بودند. پس از رسیدن به پاساز سوم، هموژنیستی و یکنواختی در کشت سلول‌های جدا شده به طور کامل مشخص گردید (شکل ۱).

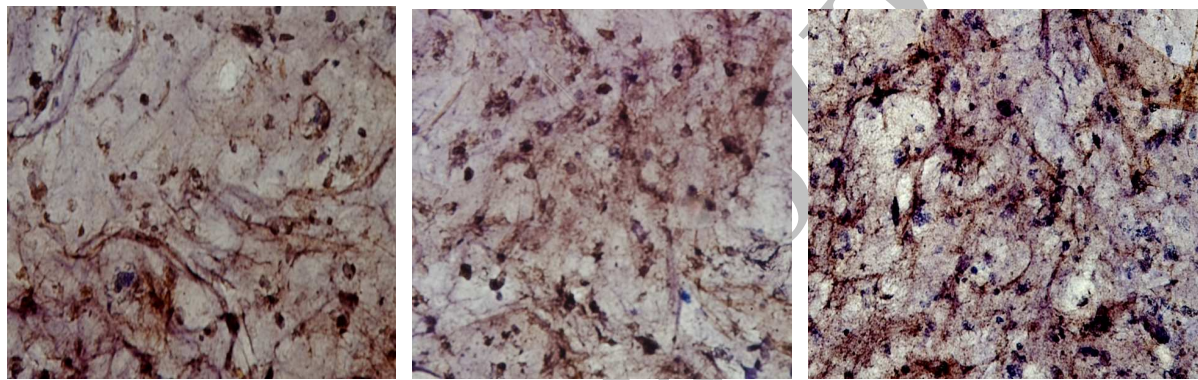


شکل ۱. تصویر تهیه شده با میکروسکپ اینورت از سلول‌های بنیادی زنده جدا شده از بافت چربی در کشت تک لایه‌ای مربوط به پاساز چهارم که سلول‌های دوکی به صورت یکنواخت قابل مشاهده هستند.  $\times 40$

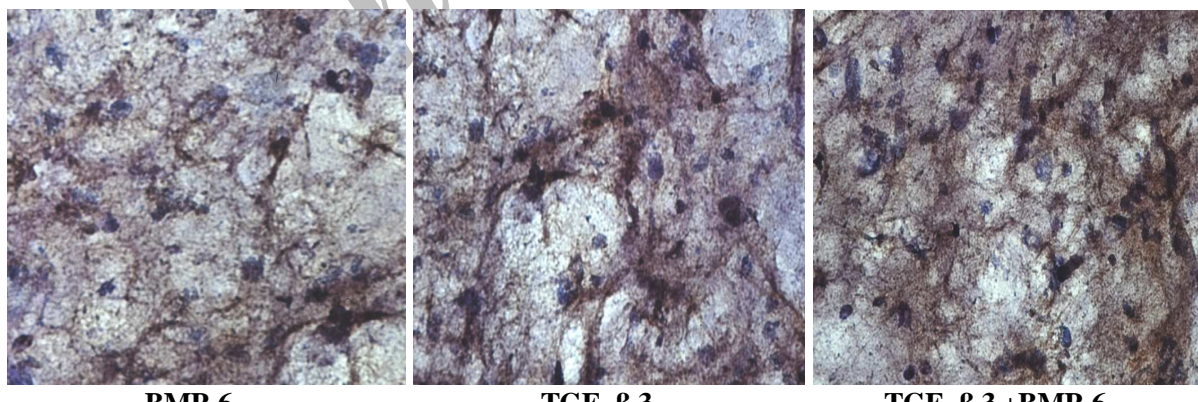
بررسی نتایج حاصل از تمایز کندروژنیک بر روی داربست آژینات: قطرات آژینات دارای سلول پس از

داربست از پدیدآمدن ماتریکس هموژن و به هم پیوسته جلوگیری می‌کند؛ پراکندگی ماتریکس در نمونه‌ها به طور کامل مشهود بود (شکل ۳ و ۴). مشاهده‌ی نمونه‌ها نشان داد که شدت رنگ در گروه آزمایشی سوم نسبت به دو گروه دیگر بیشتر است.

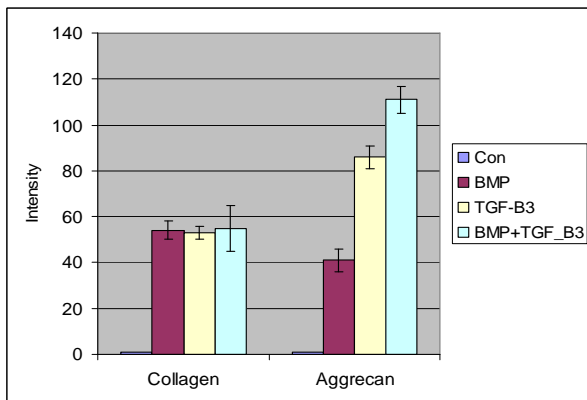
**بررسی ایمینوھیستوشیمی:** نمونه‌ها جهت ارزیابی وجود ماتریکس ویژه‌ی غضروف با روش ایمینوھیستوشیمی بررسی شد. وجود ترکیبات آگریکان و کلاژن نوع II به صورت تشکیل رسوب قهقهه‌ای رنگ حاصل از واکنش دی‌امینو بنزیدین مشخص گردید. البته لازم به ذکر است به دلیل این که



شکل ۳. فتومیکروگراف مقاطع تهیه شده از داربست آلزینات - سلول پس از القا تمایز کندروژنیک جهت بررسی وجود کلاژن نوع II با تکنیک ایمینوھیستوشیمی در گروه‌های آزمایشی دارای فاکتورهای رشد-6 BMP-3 و TGF- $\beta$ 3 و هر دو فاکتور توأم. رسوب قهقهه‌ای رنگ نشان دهنده وجود کلاژن نوع II است.  $\times 200$



شکل ۴. فتومیکروگراف مقاطع تهیه شده از داربست آلزینات - سلول پس از القا تمایز کندروژنیک جهت بررسی وجود پروتون گلیکان آگریکان با تکنیک ایمینوھیستوشیمی در گروه‌های آزمایشی دارای فاکتورهای رشد-6 BMP-3 و TGF- $\beta$ 3 و هر دو فاکتور توأم. رسوب قهقهه‌ای رنگ نشانده‌نده وجود پروتون گلیکان آگریکان است.  $\times 200$



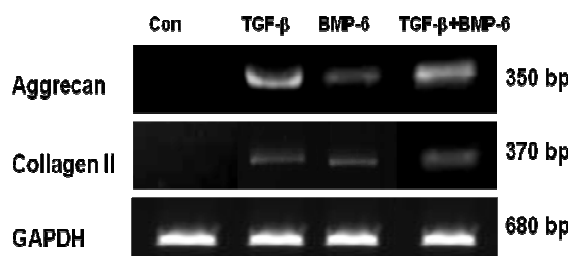
نمودار ۱. مقایسه نتایج RT-PCR به صورت نیمه کمی در گروههای آزمایشی تمايز یافته بر داربست آژینات. بیان ژن آگریکان در گروه دارای BMP-6+TGF- $\beta$  در مقایسه با گروههای دیگر اختلاف معنی داری نشان می دهد ( $P < 0.001$ ).

### بحث

از آن جا که بافت غضروفی فاقد عروق خونی و اعصاب است و آسیب‌های این بافت قابل ترمیم نیست، از طریق مهندسی بافت می‌توان به بافت غضروفی دست یافت. تحقیقات نشان داده است که جهت طراحی بافت غضروف وجود دانسیته‌ی سلولی بالا و تعامل بین سلولی مناسب ضروری است و از طریق سیستم کشت Pellet و کشت بر روی داربست‌های سه بعدی می‌توان تعامل بین سلولی مناسب جهت القای کندروژن فراهم کرد (۴۰-۴۹). به علاوه، فاکتورهای رشد و عدم وجود سرم از ضروریات القای غضروف سازی محسوب می‌شوند (۲۸، ۳۱).

لازم به ذکر است که جهت تمايز کندروژنیک در تحقیقات گسترده از داربست‌های متنوعی استفاده شده است که هر یک محسن و معایی دارند. پلیمرهای مصنوعی، گرچه ویژگی‌های مکانیکی مناسبی جهت طراحی بافت دارند، لیکن از زیست سازگاری مناسب برخوردار نیستند و چسبندگی سلولی ایجاد نمی‌کنند. به علاوه، در شرایط ساده‌ی آزمایشگاهی تهیه‌ی آنها به

**بررسی نتایج RT-PCR:** برای تأیید نتایج بررسی‌های هیستولوژیک و ایمینوھیستوشیمی، بیان ژن‌های مولکول‌های اختصاصی غضروف از طریق RT-PCR ارزیابی گردید و مشخص شد که تحت تأثیر فاکتور رشد BMP-6 بر داربست آژینات، سلول‌های بنیادی مشتق از چربی طی روند تمايز، ترکیبات ویژه‌ی غضروف مانند آگریکان و کلاژن نوع II را بیان می‌کنند (شکل ۵). لازم به ذکر است که بیان ژن‌های آگریکان و کلاژن نوع II در سلول‌های بنیادی پیش از القای کندروژن و سلول‌هایی که در داربست آژینات بدون افودن فاکتور رشد کشت داده شدند نیز از طریق RT-PCR بررسی شد و تنها بیان ژن گلیسرآلدئید فسفات دهیدروژنаз (GAPDH)، که به عنوان ژن House-keeping مورد بررسی قرار گرفت، در آنها مشخص گردید (شکل ۵). با مقایسه‌ی آماری شدت باندها در گروههای آزمایشی، اختلاف معنی داری در میزان بیان ژن کلاژن نوع II مشخص نشد ( $P = 0.99$ ) ولی میزان بیان پروتئوگلیکان آگریکان در گروههای آزمایشی تفاوت معنی داری نشان داد ( $P < 0.001$ ). به طوری که در گروه دارای هر دو فاکتور رشد، بیشترین و در گروه دارای BMP-6، کمترین بیان مشخص گردید (نمودار ۱).



شکل ۵. نتایج RT-PCR مربوط به نمونه‌های کشت یافته بر داربست آژینات. ژن‌های ویژه غضروف (کلاژن نوع II و آگریکان) در گروه کنترل بیان نگردید ولی در هر سه گروه آزمایشی بیان این ژن‌ها مشخص شد. ژن گلیسرآلدئید فسفات دهیدروژناز در همه سلول‌ها بروز می‌کند که به عنوان ژن house-keeping gene به کار برده شد.

مطالعات Barry و همکاران نشان داده است که TGF- $\beta$ 2 و TGF- $\beta$ 3 بیش از ۱۰٪ موجب تجمع گلیکوز آمینوگلیکان‌ها در روند کندروژنر می‌شوند (۴۹). در بررسی دیگر مشخص شد که با حذف فاکتور رشد TGF- $\beta$ 3 و کاهش میزان دگزامتازون در روند کندروژنر حالت هیپرتروفی بافت رخ می‌دهد (۵۰).

برخی مطالعات نشان داده است که ایزوفرم‌های TGF- $\beta$  به تنها یک جهت تمایز سلولهای مزانشیمی بنیادی کافی نیست و افزودن دیگر فاکتورها، مانند ۶ BMP، نه تنها وزن Pellet‌ها بلکه میزان پروتئوگلیکان‌های تولید شده را نیز افزایش می‌دهد (۳۳).

در بررسی Indrawattana و همکاران گزارش شده است که ۶ BMP به تنها یک قدر به القا کندروژنر نیست (۳۸)؛ به علاوه، تحقیقات دیگر وجود ۶ BMP را برای استخوان سازی داخل غضروفی لازم می‌دانند و نقش اساسی این فاکتور را در تشکیل استخوان گزارش کرده‌اند (۳۹).

همچین بررسی‌ها نشان داده است که طی تکامل رویان در مرحله‌ی پیش از هیپرتروفه شدن ۶ BMP بیان می‌شود. به علاوه، ۶ BMP mRNA مربوط به کلازن نوع X را در کشت تک لایه‌ای در کندروسیت‌های نابالغ افزایش می‌دهد (۵۱).

در تحقیق Sekiya و همکاران، سلول‌های استرومایی مغز استخوان انسانی در کشت میکروماس، بدون وجود سرم و در حضور TGF- $\beta$ 3 و دگزامتازون به سمت تمایز کندروژنیک پیش برده شد و با افزودن ۶ BMP، وزن توده پس از تمایز چندین برابر افزایش یافت. در این بررسی، بیان کلازن نوع X و II پس از یک هفته مشخص گردید. آن‌ها نشان دادند که ۶ BMP می‌تواند تأثیر TGF- $\beta$ 3 را در کندروژنر با تولید گلیکوز

راحتی امکان پذیر نیست (۴۱-۴۲).

در مورد انواع داربست‌های طبیعی نیز معاویی وجود دارد که پایداری کم، فقدان ویژگی‌های مکانیکی مناسب و سرعت بالای تخریب از آن جمله است (۴۳-۴۵). پلی‌ساکارید طبیعی آلزینات در شرایط آزمایشگاه بدون نیاز به وجود حلال‌های آلی به راحتی به حالت ژل در می‌آید و تهیی آن به عنوان داربست نیاز به تغییر pH، حرارت یا فعال کننده‌های سمی ندارد و به علاوه در حالت ژل، دارای تخلخل بوده، انتشار ماکرومولکول‌ها را تسهیل می‌نماید (۴۵، ۴۷). از آن جا که آلزینات به علت هیدروفیل بودن و داشتن مقادیر فراوان آب می‌تواند به عنوان ماده‌ی زمینه‌ی خارج سلولی بستری مناسب جهت رشد سلول‌ها فراهم کند، در تحقیق حاضر آلزینات به عنوان داربست انتخاب گردید.

در بین القا کننده‌های کندروژنیک، اعضای خانواده‌ی فاکتورهای رشد تغییر شکل دهنده‌ی بتا (TGF- $\beta$ ) از اهمیت خاصی برخوردارند. مبنای بررسی اعضای خانواده‌ی TGF- $\beta$  در روند کندروژنر بر این واقعیت استوار است که این فاکتورهای رشد در تنظیم رشد و تمایز رویان، به ویژه در روند تکامل غضروف و استخوان، تأثیر مهمی دارند (۴۶-۴۷). مطالعه‌ی Yoo و همکاران نشان داد که به کار بردن فاکتور رشد TGF- $\beta$ 1 موجب بیان کلازن نوع II در روز چهارم القای کندروژنیک می‌شود؛ در حالی که در روز یازدهم بیان کلازن نوع X را، که عامل هیپرتروفه شدن است، سبب می‌گردد (۴۸).

TGF- $\beta$ 1 و همکاران نیز نشان داد که در روزهای پایین جهت القای کندروژنر کافی نیست (۴۸-۴۹) که با برخی تحقیقات مشابه بود.

گردید که دو فاکتور رشد BMP-6 و TGF- $\beta$  3 هر یک به تنهایی بر داربست آژینات به عنوان عامل القا کننده‌ی کندروژن عمل می‌کنند؛ همچنین، تأثیر آن‌ها در میزان تولید کلژن نوع II تفاوت معنی‌داری نشان نداد لیکن بر میزان تولید پروتئوگلیکان آگریکان تأثیر متفاوتی داشتند؛ در حالی که Estes و همکاران تأثیر فاکتور رشد BMP-6 را بیش از TGF- $\beta$  3 گزارش کردند (۲۸). در تحقیق حاضر مشخص شد که به کار گیری هم‌زمان دو فاکتور تولید آگریکان را با اختلاف معنی‌داری افزایش داده و فاکتور رشد BMP-6 حداقل تأثیر را در روند تولید پروتئوگلیکان آگریکان داشته است.

در نهایت از تحقیق حاضر می‌توان نتیجه گرفت که سلول‌های بنیادی مشتق از بافت چربی زیرجلدی انسانی در داربست آژینات تحت تأثیر فاکتورهای رشد BMP-6 و TGF- $\beta$  3 قابلیت تمایز به بافت غضروفی را دارند و می‌توان جهت طراحی بافت غضروفی از آن‌ها استفاده نمود.

### تشکر و قدردانی

نویسنده‌گان مرآتب تقدير و تشکر خود را از مساعدت‌های صميمانه‌ی جناب آقای دکتر حميد زركش، سرکار خانم زهرا شفيعي، سرکار خانم كربلايي و سرکار خانم تنهائي ابراز می‌دارند.

### References

- Junqueira LC, Carneiro J. Basic histology: text & atlas. New York: McGraw-Hill; 2005. p. 120-33
- Hardingham T, Tew S, Murdoch A. Tissue engineering: chondrocytes and cartilage. Arthritis Res 2002; 4 Suppl 3: S63-S68.
- Fautrel B, Hilliquin P, Rozenberg S, Allaert FA, Coste P, Leclerc A, et al. Impact of osteoarthritis: results of a nationwide survey of 10,000 patients consulting for OA. Joint Bone Spine 2005; 72(3): 235-40.
- Anonymous prevalence and impact of arthritis by race and ethnicity-US, 1989-1991. Morb Mortal Wkly Rep 2010; 10: 373-8.
- Kuo CK, Li WJ, Mauck RL, Tuan RS. Cartilage tissue engineering: its potential and uses. Curr Opin Rheumatol 2006; 18(1): 64-73.
- Casper D, Harrison Principles of Internal Medicine 2005. Trans. Interpreters Publishing Group Teymurzadeh. Tehran: Teymurzadeh; 2006.
- Tew SR, Kwan AP, Hann A, Thomson BM, Ar-

امينوگلیکان‌ها بيشتر نماید (۳۳). گرچه برخی محققین وجود TGF- $\beta$  3 را جهت پيشرفت کندروژن ضروري می‌دانند (۲۸)، لیکن Indrawattana و همکاران در بررسی خود به اين موضوع اشاره می‌کنند که TGF- $\beta$  3 تمایز کندروژنيک سلول‌های بنیادی مزانشيمی مشتق از مغز استخوان را القا می‌کند ولی تأثیر آن اندک است و کندروسیت به طور كامل بالغ تشکیل نمی‌شود (۳۸).

نتایج مطالعه‌ی ما نشان داد که فاکتورهای رشد TGF- $\beta$  3 و BMP-6 به تنهایی قادر به القای سلول‌های بنیادی مشتق از چربی به غضروف هستند و به کار گیری هم‌زمان دو فاکتور موجب افزایش تولید پروتئوگلیکان آگریکان می‌شود. همان گونه که در Sekiya و همکاران مشخص شده است، با افزودن BMP-6 به محیط کشت کندروژنیک تولید پروتئوگلیکان‌ها افزایش می‌یابد (۳۳).

تمایز کندروژنیک سلول‌های ADSCs بر داربست آژینات تحت تأثیر TGF- $\beta$  3 و BMP-6 به طور گسترده گزارش نشده است. تنها مورد به دست آمده مربوط به مطالعه‌ی Estes و همکاران می‌باشد (۲۸). با توجه به تفاوت‌های تحقیق حاضر و مطالعه‌ی Estes و همکاران از نظر دانسيته‌ی سلولی، وجود دگراماتازون و عدم به کار گیری FGF و EGF نتایج متفاوت دور از انتظار نیست. در این بررسی مشخص

- cher CW. The reactions of articular cartilage to experimental wounding: role of apoptosis. *Arthritis Rheum* 2000; 43(1): 215-25.
8. Holtzer H, Abbott J, Lash J, Holtzer S. The loss of phenotypic traits by differentiated cells in vitro, I dedifferentiation of cartilage cells. *Proc Natl Acad Sci USA* 1960; 46(12): 1533-42.
  9. Homicz MR, Chia SH, Schumacher BL, Masuda K, Thonar EJ, Sah RL, et al. Human septal chondrocyte redifferentiation in alginate, polyglycolic acid scaffold, and monolayer culture. *Laryngoscope* 2003; 113(1): 25-32.
  10. Esfandiary E, Amirpour N, Fesharaki M, Nasr Esfahani MH, Molavi F, Molavi F, et al. Access to chondrocyte culture with alginate, In *Iran. Yakhteh Med J* 2008; 10(1): 73-7.
  11. Benya PD, Shaffer JD. Dedifferentiated chondrocytes reexpress the differentiated collagen phenotype when cultured in agarose gels. *Cell* 1982; 30(1): 215-224.
  12. Vacanti CA, Upton J. Tissue-engineered morphogenesis of cartilage and bone by means of cell transplantation using synthetic biodegradable polymer matrices. *Clin Plast Surg* 1994; 21(3): 445-62.
  13. Lee JD, Hwang O, Kim SW, Han S. Primary cultured chondrocytes of different origins respond differently to b-FGF and TGF- $\alpha$ . *Life Sciences* 1997; 61(3): 293-9.
  14. Brittberg M, Lindahl A, Nilsson A, Ohlsson C, Isaksson O, Peterson L. Treatment of deep cartilage defects in the knee with autologous chondrocyte transplantation. *N Engl J Med* 1994; 331(14): 889-95.
  15. Bronzino JD. *Tissue Engineering and Artificial Organs*. In: Bronzino JD, Editor. *The Biomedical Engineering Handbook*. New York: CRC Press; 2006. p. 1-8.
  16. Vunjak-Novakovic G, Freshney RI. Culture of cells for tissue engineering. New Jersey: John Wiley and Sons; 2006. p. 131-55.
  17. Tabato Y. Recent progress in tissue engineering. *Drug Discovery Today* 2001; 6(9): 483-7.
  18. Tsuchiya K, Chen G, Ushida T, Matsuno T, Tateishi T. The effect of coculture of chondrocytes with mesenchymal stem cells on their cartilaginous phenotype in vitro. *Mat Sci Eng* 2004; 24(3): 391-6.
  19. Langer R, Vacanti JP. Tissue engineering. *Science* 1993; 260(5110): 920-6.
  20. Freed LE, Vunjak-Novakovic G. Tissue engineering of cartilage. In: Bronzino JD, Editor. *The Biomedical Engineering Handbook*. New York: CRC Press, 2006. p. 124-6.
  21. Yamamoto M, Tabata Y, Kawasaki H, Ikada Y. Promotion of fibrovascular tissue ingrowth into porous sponges by basic fibroblast growth factor. *J Mater Sci Mater Med* 2000; 11(4): 213-8.
  22. Hutmacher DW. Scaffolds in tissue engineering bone and cartilage. *Biomaterials* 2000; 21(24): 2529-43.
  23. Morris VJ. Gelation of polysaccharides. In: Hill SE, Ledward DA, Mitchell JR, Editors. *Functional properties of food macromolecules*. New York: Elsevier; 1986: 121-8.
  24. Rowley JA, Madlambayan G, Mooney DJ. Alginate hydrogels as synthetic extracellular matrix materials. *Biomaterials* 1999; 20(1): 45-53.
  25. Wang Z, Zhang Q, Konno M, Saito S. Sol-gel transition of alginate solution by the addition of various divalent cations. *Biopolymers* 1993; 33(4): 703-11.
  26. Aydelotte MB, Kuettner KE. Differences between sub-populations of cultured bovine articular chondrocytes. I. Morphology and cartilage matrix production. *Connect Tissue Res* 1988; 18(3): 205-22.
  27. Stevens MM, Qanadilo HF, Langer R, Prasad S, V. A rapid-curing alginate gel system: utility in periosteum-derived cartilage tissue engineering. *Biomaterials* 2004; 25(5): 887-94.
  28. Estes BT, Wu AW, Guilak F. Potent induction of chondrocytic differentiation of human adipose-derived adult stem cells by bone morphogenetic protein 6. *Arthritis Rheum* 2006; 54(4): 1222-32.
  29. Yang IH, Kim SH, Kim YH, Sun HJ, Kim SJ, Lee JW. Comparison of phenotypic characterization between "alginate bead" and "pellet" culture systems as chondrogenic differentiation models for human mesenchymal stem cells. *Yonsei Med J* 2004; 45(5): 891-900.
  30. Coutts RD, Sah RL, Amiel D. Effects of growth factors on cartilage repair. *Instr Course Lect* 1997; 46: 487-94.
  31. O'Connor WJ, Botti T, Khan SN, Lane JM. The use of growth factors in cartilage repair. *Orthop Clin North Am* 2000; 31(3): 399-410.
  32. Majumdar MK, Wang E, Morris EA. BMP-2 and BMP-9 promotes chondrogenic differentiation of human multipotential mesenchymal cells and overcomes the inhibitory effect of IL-1. *J Cell Physiol* 2001; 189(3): 275-84.
  33. Sekiya I, Colter DC, Prockop DJ. BMP-6 enhances chondrogenesis in a subpopulation of human marrow stromal cells. *Biochem Biophys Res Commun* 2001; 284(2): 411-8.
  34. Awad HA, Wickham MQ, Leddy HA, Gimble JM, Guilak F. Chondrogenic differentiation of adipose-derived adult stem cells in agarose, alginate, and gelatin scaffolds. *Biomaterials* 2004; 25(16): 3211-22.
  35. Hanada K, Solchaga LA, Caplan AI, Hering TM, Goldberg VM, Yoo JU, et al. BMP-2 induction and TGF-beta 1 modulation of rat periosteal cell chondrogenesis. *J Cell Biochem* 2001; 81(2): 284-94.

- 36.** Bai X, Xiao Z, Pan Y, Hu J, Pohl J, Wen J, et al. Cartilage-derived morphogenetic protein-1 promotes the differentiation of mesenchymal stem cells into chondrocytes. *Biochem Biophys Res Commun* 2004; 325(2): 453-60.
- 37.** Cheng H, Jiang W, Phillips FM, Haydon RC, Peng Y, Zhou L, et al. Osteogenic activity of the fourteen types of human bone morphogenetic proteins (BMPs). *J Bone Joint Surg Am* 2003; 85-A(8): 1544-52.
- 38.** Indrawattana N, Chen G, Tadokoro M, Shann LH, Ohgushi H, Tateishi T, et al. Growth factor combination for chondrogenic induction from human mesenchymal stem cell. *Biochem Biophys Res Commun* 2004; 320(3): 914-9.
- 39.** Zuk PA, Zhu M, Ashjian P, De Ugarte DA, Huang JI, Mizuno H, et al. Human adipose tissue is a source of multipotent stem cells. *Mol Biol Cell* 2002; 13(12): 4279-95.
- 40.** Cai X, Lin Y, Ou G, Luo E, Man Y, Yuan Q, et al. Ectopic osteogenesis and chondrogenesis of bone marrow stromal stem cells in alginate system. *Cell Biol Int* 2007; 31(8): 776-83.
- 41.** Chen G, Ushida T, Tateishi T. A biodegradable hybrid sponge nested with collagen micro-sponges. *J Biomed Mater Res* 2000; 51(2): 273-9.
- 42.** Lahiji A, Sohrabi A, Hungerford DS, Frondoza CG. Chitosan supports the expression of extracellular matrix proteins in human osteoblasts and chondrocytes. *J Biomed Mater Res* 2000; 51(4): 586-95.
- 43.** Frenkel SR, Bradica G, Brekke JH, Goldman SM, Ieska K, Issack P, et al. Regeneration of articular cartilage—evaluation of osteochondral defect repair in the rabbit using multiphasic implants. *Osteoarthritis Cartilage* 2005; 13(9): 798-807.
- 44.** Chen YL, Lee HP, Chan HY, Sung LY, Chen HC, Hu YC. Composite chondroitin-6-sulfate/dermatan sulfate/chitosan scaffolds for cartilage tissue engineering. *Biomaterials* 2007; 28(14): 2294-305.
- 45.** Magnani A, Albanese A, Lamponi S, Barbucci R. Blood-interaction performance of differently sulphated hyaluronic acids. *Thromb Res* 1996; 81(3): 383-95.
- 46.** Wall NA, Hogan BL. TGF-beta related genes in development. *Curr Opin Genet Dev* 1994; 4(4): 517-22.
- 47.** Wozney JM, Rosen V. Bone morphogenetic protein and bone morphogenetic protein gene family in bone formation and repair. *Clin Orthop Relat Res* 1998; (346): 26-37.
- 48.** Yoo JU, Barthel TS, Nishimura K, Solchaga L, Caplan AI, Goldberg VM, et al. The chondrogenic potential of human bone-marrow-derived mesenchymal progenitor cells. *J Bone Joint Surg Am* 1998; 80(12): 1745-57.
- 49.** Barry F, Boynton RE, Liu B, Murphy JM. Chondrogenic differentiation of mesenchymal stem cells from bone marrow: Differentiation-dependent gene expression of matrix components. *Exp Cell Res* 2001; 268(2): 189-200.
- 50.** Mackay AM, Beck SC, Murphy JM, Barry FP, Chichester CO, Pittenger MF. Chondrogenic differentiation of cultured human mesenchymal stem cells from marrow. *Tissue Eng* 1998; 4(4): 415-28.
- 51.** Denker AE, Hass AR, Nicoll SB, Tuan RS. Chondrogenic differentiation of murine C3H10T1/2 multipotential mesenchymal cells: I. Stimulation by Bone morphogenetic protein-2 in high-density micromass culture. *Differentiation*. 2002; 64(2): 67-76.

## Effect of Transforming Growth Factor- $\beta$ 3 and Bone Morphogenetic Protein-6 Growth Factors on Chondrogenic Differentiation of Adipose-Derived Stem Cells in Alginate Scaffold

Batool Hashemibeni PhD<sup>1</sup>, Shahnaz Razavi PhD<sup>2</sup>, Ebrahim Esfandiary PhD<sup>3</sup>,  
Saeed Karbasi PhD<sup>4</sup>, Mohammad Mardani PhD<sup>2</sup>, Farzane Sadeghi MSc<sup>5</sup>,  
Mohammadhossein Nasre Esfahani PhD<sup>6</sup>, Fatemeh Nadali PhD<sup>7</sup>, Hamid Shafiezade MD<sup>8</sup>

### Abstract

**Background:** Cartilage damages and diseases such as osteoarthritis are rather worldwide problems of many people. In addition, articular cartilage has a limited ability to repair. Current treatment methods for cartilage tissue injuries lead to formation of fibrous tissue, apoptosis, and further cartilage degeneration. Therefore, engineering of cartilage tissue with adult stem cells is considered necessary. This study aimed to investigate the effect of TGF- $\beta$ 3 and BMP-6 growth factors on chondrogenic differentiation of adipose-derived stem cells in alginate scaffold.

**Methods:** Stem cells were isolated from human subcutaneous adipose tissue with collagenase enzyme digestion. The isolated cells were treated with chondrogenic medium supplemented with TGF- $\beta$ 3 and BMP-6 on alginate scaffold then harvested after 3 weeks. Histological, immunohistochemical and RT-PCR methods were performed for assessment of cartilage-specific markers.

**Findings:** Our results revealed that chondrogenesis of ADSCs on alginate scaffold induced by TGF- $\beta$ 3 and BMP-6 growth factors. Immunohistochemical method was shown deposition of typical cartilage extracellular matrix components such as type II collagen and aggrecan in constructs. RT-PCR analysis of cartilage-specific genes, also confirmed the induction of the chondrocytic phenotype upon stimulation with TGF- $\beta$ 3 and BMP-6. Also, TGF- $\beta$ 3 and BMP-6 together increased the expression of aggrecan gene in compare with one growth factor alone.

**Conclusion:** It can be concluded that TGF- $\beta$ 3 and BMP-6 promote chondrogenesis of ADSCs in 3-D culture and the use of both growth factors together increase the expression of aggrecan gene in compare with one growth factor alone.

**Key words:** Adipose-derived stem cells, Alginate, Tissue engineering of cartilage, BMP-6, TGF- $\beta$ 3.

<sup>1</sup> Assistant Professor, Department of Anatomical Sciences, School of Medicine, Isfahan University of Medical Sciences, Isfahan, Iran.

<sup>2</sup> Associate Professor, Department of Anatomical Sciences, School of Medicine, Isfahan University of Medical Sciences, Isfahan, Iran.

<sup>3</sup> Professor, Department of Anatomical Sciences, School of Medicine, Isfahan University of Medical Sciences, Isfahan, Iran.

<sup>4</sup> Assistant Professor, Department of Physics and Medical Engineering, School of Medicine, Isfahan University of Medical Sciences, Isfahan, Iran.

<sup>5</sup> Department of Anatomical Sciences, School of Medicine, Isfahan University of Medical Sciences, Isfahan, Iran.

<sup>6</sup> Assistant Professor, Department of Embryology, Cell Sciences Research Center (ACECR), Royan Institute (Isfahan Campus), Isfahan, Iran.

<sup>7</sup> Assistant Professor, Department of Pathology and Hematology, School of Medicine, Isfahan University of Medical Sciences, Isfahan, Iran.

<sup>8</sup> General Practitioner, Department of Anatomical Sciences, School of Medicine, Isfahan University of Medical Sciences, Isfahan, Iran.

Corresponding Author: Shahnaz Razavi PhD, Email: razavi@med.mui.ac.ir